

ลักษณะภาพเอกซเรย์คอมพิวเตอร์สมองของ Toxoplasmosis ในผู้ป่วยเออดส์

พิศิษฐ์ วัฒนเรืองโภวิท, พ.บ.* บุญยา สุจิตราณุช, พ.บ.**

บทคัดย่อ

การติดเชื้อระบบประสาทส่วนกลางพบได้น้อยในผู้ป่วยเออดส์ ซึ่งเกิดจากเชื้อโรคได้หลายชนิด Toxoplasmic encephalitis เป็นโรคที่พบได้น้อยมาก การวินิจฉัยที่แน่นอนทำได้โดยการตรวจชิ้นเนื้อแต่ไม่สะดวกและมีความเสี่ยง การศึกษาลักษณะภาพเอกซเรย์คอมพิวเตอร์สมองของโรคนี้จะมีประโยชน์มากต่อการรักษาผู้ป่วย ผู้วิจัยได้ทำการศึกษาลักษณะภาพเอกซเรย์คอมพิวเตอร์สมองของผู้ป่วยเออดส์ที่ได้รับการวินิจฉัยและตอบสนองด้วยการรักษาแบบ Toxoplasmic encephalitis จำนวน 50 ราย โดยทุกรายมีลักษณะเอกซเรย์คอมพิวเตอร์สมองในการตรวจครั้งที่สองดังนี้ ผู้วิจัยได้ศึกษาในแผ่นจำนวน ขนาด ตำแหน่ง density ลักษณะ enhancement การบรวมและการกดเบี้ยดต่อสมองข้างเคียง และลักษณะที่พบในการตรวจครั้งที่สอง มีผู้ป่วยที่มีรอยโรคมากกว่าหนึ่งแห่งเป็นจำนวน 78% สามอันดับแรกของตำแหน่งที่พบอยู่ในบริเวณ gray-white matter junction cortex และ basal ganglia ส่วนใหญ่ให้ลักษณะ isodensity หรือ hypodensity ที่มี enhancement แบบ irregular ring/conglomerate ring ร่วมกับแบบ nodule ทุกรอยโรคมีการบรวมของเนื้อสมองข้างเคียงและมากกว่าครึ่งมีการบรวมและกดเบี้ยดต่อเนื้อสมองข้างเคียงในระดับมาก

การระบาดของโรคเออดส์ทั่วโลกและในประเทศไทยจัดว่าเป็นปัญหาสุขภาพที่สำคัญมาก ผู้ป่วยเออดส์มักมีการติดเชื้อหลายโรคที่สามารถติดเชื้อในหลายอวัยวะและเกิดจากหลายเชื้อโรค การติดเชื้อในระบบประสาทส่วนกลางมีความสำคัญ เพราะมีอัตราตายและทุพพลภาพสูงหากไม่ได้รับการรักษาที่ถูกต้องทันท่วงที่ Toxoplasmic encephalitis เป็นโรคที่พบได้น้อยในผู้ป่วยเออดส์ การวินิจฉัยที่แน่นอนทำได้โดยการตรวจชิ้นเนื้อแต่ไม่สะดวก มีความเสี่ยง และอาจเกิดอันตรายต่อผู้ป่วยและแพทย์ได้ การวินิจฉัยและรักษาจึงต้องอาศัยอาการทางคลินิกและเอกซเรย์คอมพิวเตอร์สมอง แม้ว่ามีรายงาน Toxoplasmic encephalitis จากหลายประเทศ แต่ในประเทศไทย

ยังไม่ทราบอุบัติการณ์แท้จริงรวมทั้งข้อมูลทางวิทยาการศึกษาลักษณะภาพเอกซเรย์คอมพิวเตอร์สมองของโรคนี้จะเกิดประโยชน์ต่อการดูแลรักษาผู้ป่วยเออดส์มาก เพราะสามารถช่วยวินิจฉัยโรคและให้การรักษาที่เหมาะสมได้

РЕВИЕВ

วัตถุประสงค์การศึกษาเพื่อทราบลักษณะภาพเอกซเรย์คอมพิวเตอร์สมองของ Toxoplasmosis ในผู้ป่วยเออดส์ในประเทศไทย ได้ทำการศึกษา retrospective analysis ในกลุ่มผู้ป่วยเออดส์ที่มารับการรักษาที่โรงพยาบาลรามาธิราชนครเชียงใหม่ ตั้งแต่เดือน มกราคม 2535 ถึง ตุลาคม 2538 โดยการทบทวน

* อาจารย์สาขาวิชารังสีวิทยา สถานวิทยาศาสตร์คลินิก คณะแพทยศาสตร์ มหาวิทยาลัยธรรมศาสตร์

** กลุ่มงานรังสีวิทยา โรงพยาบาลชลบุรี

รายงานผู้ป่วยและเวชระเบียน เลือกมาศึกษาเฉพาะรายที่สามารถติดตามภาพเอกซเรย์คอมพิวเตอร์สมองได้ ผู้ป่วยทุกรายต้องมีผลเลือดบวกต่อการตรวจ anti-HIV โดยวิธี ELISA และวินิจฉัยว่าเป็นเออดี เดือนขั้นด้วย cerebral toxoplasmosis ไม่มีการติดเชื้อจุลทรรศน์ในระบบประสาทส่วนกลาง ไม่ได้รับการรักษาโดยยาด้านวัณโรคและ amphotericin B ทุกรายได้รับการตรวจเอกซเรย์คอมพิวเตอร์สมอง ก่อนรับการรักษาด้วย antitoxoplasmic drug และตรวจข้า้ออกอย่างน้อยหนึ่งครั้งว่ามีลักษณะความผิดปกติที่ดีขึ้นและแสดงว่าตอบสนองต่อการรักษา รวมทั้งนี้อาการทางคลินิกดีขึ้น มีจำนวนผู้ป่วยที่อยู่ในการศึกษารังนี้ 50 ราย

วิธีการตรวจเอกซเรย์คอมพิวเตอร์สมอง ใช้เครื่องขึ้หัว Shimadzu และ GE ตรวจทั้งก่อนและหลังฉีดสารทึบสีเชิงดัน ionic contrast medium จำนวน 50 cc. ทางเส้นเลือดดำ ใช้เทคนิค standard CT scan ใช้ slice thickness 10 mm. และบางรายใช้ slice thickness 5 mm. ที่ระดับสมองน้อย คณะผู้วิจัย 2 คนซึ่งเป็นรังสีแพทย์และแพทย์ประจำบ้าน รังสีวิทยาชั้นปีที่ 3 ได้อ่านและวิเคราะห์ภาพเอกซเรย์คอมพิวเตอร์สมองด้วยด้วยอิสระแล้วนำมาราชนาดสรุปร่วมกันในกรณีที่ไม่สอดคล้อง ทั้งนี้ไม่ได้อ้างอิงถึงผลอ่านครั้งแรกสุดของผู้ป่วยโดยรังสีแพทย์อีก

ได้ทำการรวบรวมแยกระยะลักษณะเอกซเรย์คอมพิวเตอร์สมองครั้งแรกของผู้ป่วย ในด้านจำนวนขนาด ตำแหน่งของรอยโรค density ในภาพเอกซเรย์คอมพิวเตอร์สมองก่อนฉีดสารทึบสี ลักษณะ enhancement หลังฉีดสารทึบสี และระดับการบวม และกดเมียดของสมองข้างเคียง

ลักษณะ enhancement แบ่งเป็น 4 แบบ คือ 1. Nodule ให้ลักษณะเป็นจุดหรือเป็นรูปร่างกลมหรือรี 2. Irregular ring เป็นวงขอบไม่เรียบ ตรงกลางไม่มี enhancement 3. Conglomerate ring คือมีอย่าง

น้อย 2 irregular ring ติดต่อกัน และ 4. Gyral enhancement พบริ่ง gyrus

ระดับการบวมและกดเมียดสมองข้างเคียงแบ่งเป็น 3 ระดับได้แก่ 1. น้อย คือเห็นการบวมของสมองรอบรอยโรคและมีการกดเมียดต่อสมองข้างเคียง 2. ปานกลาง คือ มีการบวมและกดเมียดต่อเนื้อสมองข้างเคียงมาก ร่วงก้นมีโพรงน้ำในสมองถูกกดเมียดให้มีขนาดเล็กลง และ 3. มาก คือพบ shifting ของ midline structure หรือ hydrocephalus

ลักษณะเอกซเรย์คอมพิวเตอร์สมองครั้งที่สอง แสดงถึงการตอบสนองต่อการรักษา 4 แบบ คือ 1. ผลการตรวจปกติหรือมีสมองเพิ่ง 2. จำนวนหรือขนาดของรอยโรคลดลง 3. ไม่พบลักษณะ enhancement และ 4. มีพินญูนั้น

ค่าสถิติที่ใช้คือ เปอร์เซ็นต์ (%)

ผลการวิจัย

ในการศึกษารังนี้มีจำนวนผู้ป่วยทั้งหมด 50 ราย เป็นเพศชาย 45 ราย หญิง 5 ราย อายุอยู่ระหว่าง 20 ถึง 47 ปี อายุเฉลี่ย 30 ปี 6 เดือน ทั้งหมดมีภูมิลำเนาอยู่ในภาคเหนือตอนบน

ในด้านจำนวนของรอยโรค พบรอยโรค 1 แห่ง 11 ราย (22%) 2 แห่ง 8 ราย (16%) 3 แห่ง 6 ราย (12%) และมากกว่า 3 แห่ง 25 ราย (50%) จัดเป็นผู้ป่วยที่มีรอยโรคมากกว่า 1 แห่งถึง 78%

ขนาดของรอยโรค (ตารางที่ 1) พบริ่งปุ่ม 34 ราย มีรอยโรคขนาดน้อยกว่า 3 cm. ขนาดตั้งแต่ 3 cm. ขึ้นไป 16 ราย รอยโรคขนาดใหญ่สุดที่พบคือ 4 cm. จำนวน 3 แห่ง

ได้จัดประเภทตามแห่งของรอยโรคไว้ 8 ตำแหน่ง (ตารางที่ 2) 19 รายมีรอยโรคที่ตำแหน่งเดียว 31 รายมีรอยโรคมากกว่า 1 ตำแหน่ง มี 20 รายที่พบว่ารอยโรคอยู่ที่ gray-white matter junction และ cortex ร่วงกับตำแหน่งอื่นอีก

ตารางที่ 1 แสดงขนาดของรอยโรค

ขนาด (cm.)	จำนวนผู้ป่วย
น้อยกว่า 1	29
1 - <2	29
2 - <3	21
ตั้งแต่ 3	16

ตารางที่ 2 แสดงตำแหน่งของรอยโรค

ตำแหน่ง	จำนวนผู้ป่วย	เปอร์เซ็นต์
Gray-white matter junction	36	72
Cortex	28	56
Basal ganglia	17	34
Thalamus	11	22
Midbrain	2	4
Pons	3	6
Cerebellum	6	12
White matter	3	6

Density ในภาพเอกซเรย์คอมพิวเตอร์สมอง ก่อนฉีดสารทึบสีให้ลักษณะเป็น isodensity และ hypodensity อย่างละ 16 ราย ที่เหลืออีก 18 ราย พบรอยโรคที่เป็นทั้ง isodensity และ hypodensity (ตารางที่ 3)

ลักษณะ enhancement ในภาพเอกซเรย์ คอมพิวเตอร์สมองหลังฉีดสารทึบสี พบว่าส่วนใหญ่มีมากกว่า 1 แบบในรายเดียวกัน (ตารางที่ 4) พบร irregular ring ร่วมกับแบบอื่น 35 ราย nodule ร่วมกับแบบอื่น 34 ราย ครึ่งหนึ่งของผู้ป่วยเป็นแบบ nodule ร่วมกับ irregular ring หรือ conglomerate ring

ตารางที่ 3 Density ในภาพเอกซเรย์คอมพิวเตอร์สมองก่อนฉีดสารทึบสี

Density	จำนวนผู้ป่วย	เปอร์เซ็นต์
Isodensity	16	32
Hypodensity	16	32
Iso + hypodensity	18	36

ตารางที่ 4 ลักษณะ enhancement ในภาพเอกซเรย์คอมพิวเตอร์สมองหลังฉีดสารทึบสี

ลักษณะ enhancement	จำนวนผู้ป่วย		
	แบบเดียว	พบร่วมกับแบบอื่น	จำนวนผู้ป่วยทั้งหมด
Nodule	8	26	34
Irregular ring	8	27	35
Conglomerate ring	3	10	13
Gyral enhancement	1	2	3

พบว่าரอยโรคทุกแห่งมีการบวมของเนื้อสมองโดยรอบ ผู้ป่วย 9 รายมีการบวมของสมองข้างเดียวในระดับน้อย มีจำนวน 29 รายที่มี shifting ของ

midline structure หรือ hydrocephalus ซึ่งจัดว่ามีการบวมและกดเบี้ยดสมองข้างเดียวอยู่ในระดับมาก (ตารางที่ 5)

ตารางที่ 5 แสดงระดับการบวมและกดเบี้ยดสมองข้างเดียว

ระดับ	จำนวนผู้ป่วย	เปอร์เซ็นต์
น้อย	9	18
ปานกลาง	12	24
มาก	29	58

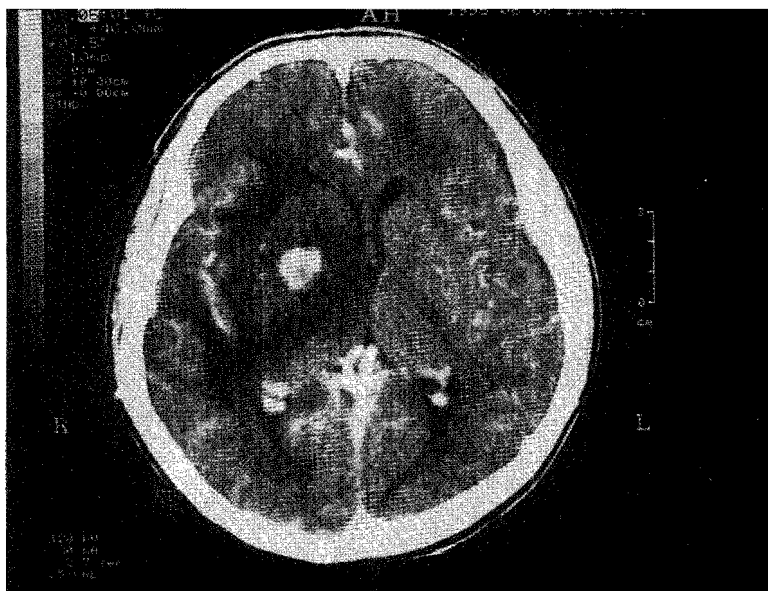
ในกลุ่มผู้ป่วยที่มีรอยโรคแห่งเดียว ซึ่งมีจำนวน 11 ราย คิดเป็นร้อยละ 22 (ตารางที่ 6) พบรอยโรคที่ cortex และ thalamus ตำแหน่งละ 4 ราย ที่ gray-white matter junction 2 ราย และอีก 1 ราย

พบที่ basal ganglia ลักษณะ enhancement ในกลุ่มนี้เป็นแบบ irregular ring 5 ราย conglomerate ring 3 ราย nodule 2 ราย และ gyral enhancement 1 ราย

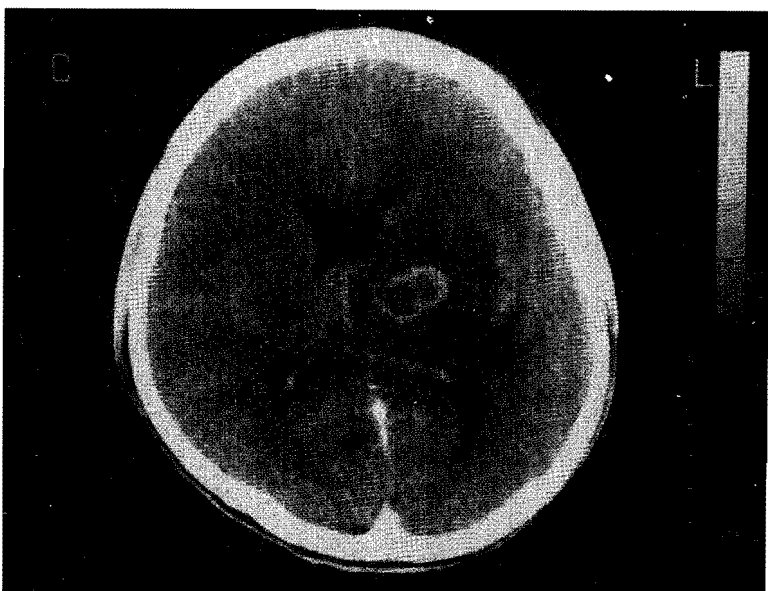
ตารางที่ 6 ตำแหน่ง และลักษณะ enhancement ของกลุ่มที่มีรอยโรคแห่งเดียว

ตำแหน่ง	จำนวนผู้ป่วย	ลักษณะ enhancement	จำนวนผู้ป่วย
Cortex	4	Irregular ring	5
Thalamus	4	Conglomerate ring	3
Gray-white matter junction	2	Nodule	2
Basal ganglia	1	Gyral enhancement	1
จำนวนผู้ป่วยทั้งหมด	11		11

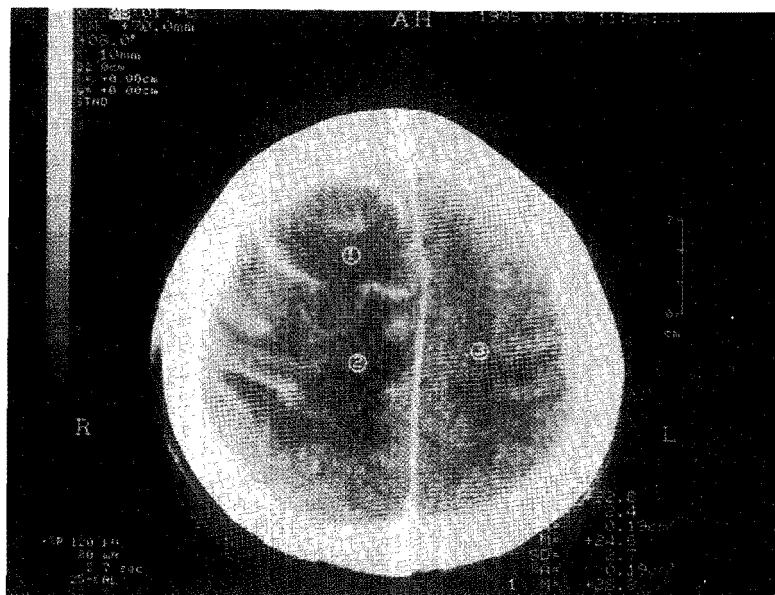
รูปที่ 1 แสดงรอยโรคที่ Rt. Basal ganglia ให้ลักษณะ nodular enhancement มีการบวมและกดเบี้ยดต่อเนื้อสมองข้างเคียงมาก



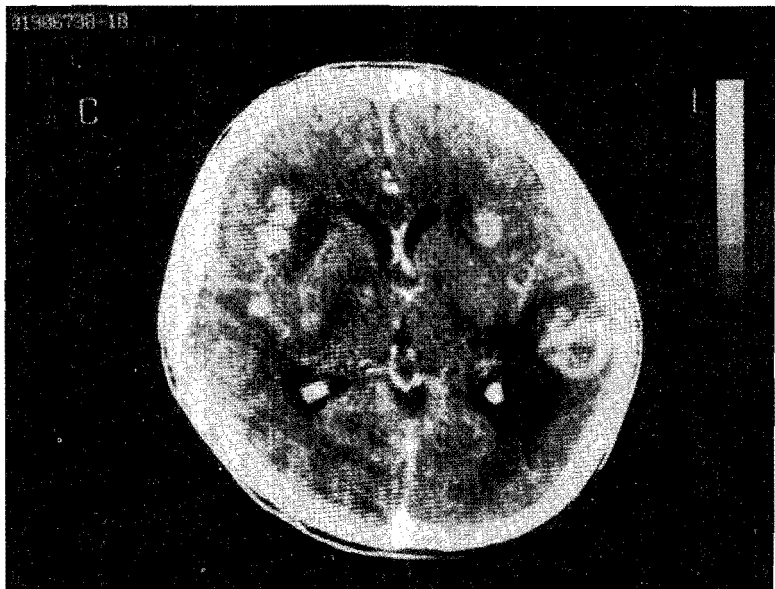
รูปที่ 2 รอยโรค conglomerate ring ที่ Lt. periventricular white matter มีการบวมและกดเบี้ยดต่อเนื้อสมองข้างเคียงมาก



รูปที่ 3 แสดงลักษณะ gyral enhancement ที่ Rt. Frontal lobe มีการบวมและกดเบี้ยดต่อเนื้อสมองมาก



รูปที่ 4 แสดงรอยโรคจำนวนมากในสมองทั้งสองข้าง ที่ให้ลักษณะ enhancement แบบ nodule และ irregular ring ที่ gray-white matter junction, cortex และ deep gray structure คือ basal ganglia และ thalamus มีการบวมและกดเบี้ยดต่อเนื้อสมองทั้งสองข้างเคียงต่างกันในแต่ละรอยโรค แต่จัดอยู่ในระดับมาก เพราะมี hydrocephalus ลักษณะ CT scan แบบนี้พบรได้บ่อยที่สุด



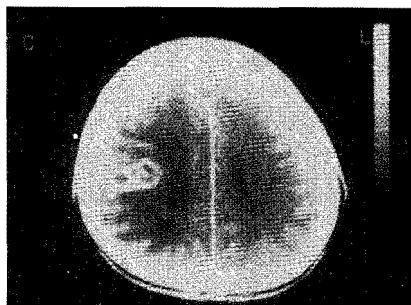
ลักษณะภาพเอกซเรย์คอมพิวเตอร์สมองใน การตรวจครั้งที่ 2 ซึ่งห่างจากครั้งแรก เป็นระยะเวลา ระหว่าง 9-209 วัน เคลื่อน 48 วัน (ประมาณ 7 สัปดาห์) ทุกรายมีลักษณะที่เดินชัดเจน จำนวนผู้ป่วยกลุ่มนี้มี

จำนวนรอยโรคน้อยลงหรือมีขนาดลดร้อยละเล็กลง เท่ากับผู้ป่วยกลุ่มที่พบว่าผลเอกซเรย์คอมพิวเตอร์ สมองเป็นปกติหรือมีสมองเพิ่ม จำนวนกลุ่มละ 20 ราย (ตารางที่ 7)

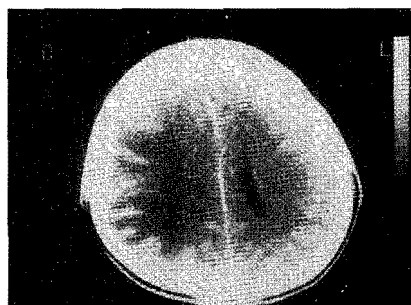
ตารางที่ 7 แสดงลักษณะเอกซเรย์คอมพิวเตอร์สมองครั้งที่สอง

ลักษณะเอกซเรย์คอมพิวเตอร์สมอง	จำนวนผู้ป่วย	เปอร์เซ็นต์
Normal or brain atrophy	20	40
Decrease number or size of lesion or decrease mass effect	20	40
Non-enhancing hypodensity	9	18
Calcific density	1	2

รูปที่ 5 A. Contrast enhanced CT scan แสดง conglomerate ring enhancement lesion ที่ gray-white matter junction ของ Rt. Parietal lobe มีการบวมและกดเบี้ยดเนื้อสมองมาก



B. Contrast enhanced CT scan ในตำแหน่งเดียวกันหลังให้การรักษา 3 สัปดาห์ เหลือรอยโรคที่มี enhancement เล็กนิดเดียวแต่ยังมีสมองบวมมาก



อภิปราย

การติดเชื้อปีโรตซัว Toxoplasma gondii ในผู้ป่วย HIV เป็นภาวะที่พบได้บ่อยมาก การติดเชื้อจะยกให้กับหลายอย่าง เช่น ระบบประสาทส่วนกลางทั้งสมองและไขสันหลัง ระบบทางเดินอาหาร ตับ หัวใจ ตา และผิวนาน เป็นต้น¹ การติดเชื้อในสมองเป็นปัญหาที่พบได้บ่อยที่สุด มักจะเกิดเมื่อระดับ CD4 ต่ำกว่า 100/ml² ในสหรัฐอเมริกาพบการติดเชื้อในสมองจากเชื้อชนิดนี้ 10-40% ของผู้ป่วยเออดส์ ในยุโรปพบ 25-51%³ ที่โรงพยาบาลรามาธิบดีเชียงใหม่ พ.ศ. 2537 พบว่า 10% ของผู้ป่วย HIV ได้รับการวินิจฉัยว่าเป็นเออดส์จากการติดเชื้อ toxoplasma ในสมอง

การติดเชื้อ toxoplasma ในสมองจะทำให้เกิด encephalitis การวินิจฉัยแน่นอนทำได้โดยการตรวจพบ tachyzoit ของ toxoplasma ในชิ้นเนื้อที่ตรวจแต่บางครั้งทำได้ยากและไม่สะดวก ดังนั้นการวินิจฉัยจากภาพเอกซเรย์คอมพิวเตอร์สมองจึงมีความสำคัญและเป็นประโยชน์มาก

จากการศึกษาก่อนหน้านี้ พบว่า toxoplasmic encephalitis เป็นสาเหตุที่พบบ่อยที่สุดของรอยโรคเฉพาะที่ในสมอง^{4,5} และพบว่าเกิดเป็นรอยโรคหลายแห่ง 54-87% มีรอยโรคเพียงแห่งเดียวพบได้ 13-46%^{4,6-11} ซึ่งสอดคล้องกับผลการศึกษาครั้งนี้ที่พบรอยโรคหลายแห่งเป็นจำนวน 78% ของผู้ป่วย และ 22% ของผู้ป่วยมีรอยโรคเดียว และพบว่าครึ่งหนึ่งของผู้ป่วยในการศึกษานี้มีรอยโรคมากกว่า 3 แห่ง

ส่วนใหญ่รอยโรคมักจะพบทั้งสองข้างของสมองและพบที่สมองส่วนผิว คือ gray-white matter junction และ cortex มากที่สุด⁷ บางรายงานพบที่ basal ganglia มากที่สุด⁸ หรือพบที่ gray-white matter junction และ subcortical gray matter คือ basal ganglia และ thalamus มากที่สุด^{4,12} ซึ่งการศึกษาของเราก็พบลักษณะที่คล้ายคลึงกัน คือ gray-white matter junction พบมากที่สุดถึง 72%

ของผู้ป่วย รอยโรคที่ cortex พน 56% basal ganglia และ thalamus พน 34% และ 22% ตามลำดับ การศึกษารังนี้แยกแยกให้เห็นว่ามีรอยโรคที่ cortex มากเป็นอันดับที่สองรองจาก gray-white matter junction เคยมีรายงานว่าพบรอยโรคที่ corpus callosum ส่วนหน้าและให้ลักษณะ butterfly appearance ได้¹³

เราไม่พบรอยโรคที่เป็น hyperdensity ใน non-enhanced CT scan เลยแม้ว่าจะเคยมีรายงานว่าพบเลือดออกได้ใน toxoplasmic encephalitis ทำให้มีลักษณะ hyperdensity ก่อนการรักษาได้¹⁴⁻¹⁶ การศึกษารังนี้พบว่ารอยโรคให้ลักษณะ isodensity hypodensity หรือ isodensity ร่วมกับ hypodensity เป็นจำนวนพอๆ กัน ซึ่งไม่แตกต่างจากการศึกษาอีก ก่อนหน้านี้^{5,7,9,10,12}

ผู้ป่วยกลุ่มที่เราศึกษารังนี้ ไม่พบว่ามีรอยโรคที่ไม่มี enhancement เลย แต่เคยมีรายงานว่าพบรอยโรคที่เป็น hypodensity โดยไม่มี enhancement ได้ถึง 6%¹⁰ และ 12%⁹

รอยโรคที่มี enhancement เกือบทั้งหมดของรายงานก่อนๆ ให้ลักษณะแบบ ring และ nodule ในสัดส่วนพอๆ กัน⁸ หรือให้แบบ ring มากที่สุด¹⁰ และมีข้อสังเกตว่าถ้ารอยโรคขนาดเล็กกว่า 1 cm. มักเป็น nodule ขนาดใหญ่กว่า 1 cm. มักเป็น ring มากกว่าแบบอื่น⁷ การศึกษารังนี้ไม่ได้ศึกษาความสัมพันธ์ของขนาดกับลักษณะ enhancement แต่ได้แยกแยกลักษณะของ ring ให้เห็นว่ารอยโรคกลุ่มนี้ มีจำนวนไม่น้อยที่ให้ลักษณะที่มี ring ติดกันมากกว่า 1 วง ซึ่งพบในผู้ป่วยจำนวน 26% ของผู้ป่วยทั้งหมด และพบที่เป็น irregular ring วงเดียวมี 70% รวมที่เป็น ring ทั้งหมด 96% ของผู้ป่วย พบรอยโรคแบบ nodule 68% ของผู้ป่วย และส่วนใหญ่ของผู้ป่วยซึ่งเป็นจำนวนถึง 73% เป็นแบบผสมกันระหว่าง ring หรือ nodule ร่วมกับแบบอื่น การศึกษารังนี้พบ gyral enhancement 1 ราย ซึ่งเคยมีรายงานไว้ 1 รายเช่นกัน⁹ ส่วน subependymal enhancement ที่

เคยมีรายงานไว้¹⁷ เรายังไม่พบในการศึกษาครั้งนี้

ทุกรอยโรคในการศึกษาครั้งนี้มีการบวมของเนื้อสมองโดยรอบทั้งหมด โดย 82% อุบัติในระดับปานกลางถึงมาก เราพบว่ามี shifting ของ midline structure หรือ hydrocephalus ถึง 58% สอดคล้องกับรายงานก่อนๆ^{8,9,18} แต่ก็มีรายงานว่าพบบวมของบวมเพียง 78%¹⁰ ซึ่งความแตกต่างของรายงานนี้อาจเกิดจากการแปลผลก็ได้

Toxoplasmic encephalitis มักจะมีอาการดีขึ้นหลังการรักษา 7–14 วัน ส่วนลักษณะภาพเอกซเรย์คอมพิวเตอร์สมองจะดีขึ้นชัดเจนใน 21 วัน⁴ แต่ มีรายงานว่า 95% จะพบเอกซเรย์คอมพิวเตอร์สมองดีขึ้นใน 14 วัน¹⁰ การศึกษาครั้งนี้จำกัดเฉพาะผู้ป่วยที่มีผลการตรวจเอกซเรย์คอมพิวเตอร์สมองดีขึ้นเท่านั้น ระยะเวลาที่ตรวจซ้ำครั้งที่ 2 ดังแต่ 9 วันถึง 209 วัน เคลื่อน 48 วันหรือประมาณ 7 สัปดาห์ สาเหตุที่ระยะเวลาที่ตรวจซ้ำนานนี้เนื่องจากในช่วงที่ทำการศึกษาเป็นระยะแรกที่พบ Toxoplasmic encephalitis ในประเทศไทย และยังขาดข้อมูลเกี่ยวกับโรคก่อนนี้ ฉันนี้ มีผู้ป่วยจำนวนมากที่อาการทางคลินิกดีขึ้นและไม่ได้ตรวจเอกซเรย์คอมพิวเตอร์สมองท้า เพราะราคาแพง และไม่ได้รวมในการศึกษานี้ ผลการศึกษาที่ได้จากการตรวจซ้ำพบว่า 40% ของผู้ป่วยมีผลการตรวจเอกซเรย์คอมพิวเตอร์สมองที่ปกติหรือมีบวมเทียบ ซึ่งบวมเทียบกับน้ำอุจจาระ HIV ก็ได้¹⁹ จำนวน 18% ของผู้ป่วยพบว่าเป็น hypodensity ที่ไม่มี enhancement ของรอยโรคซึ่งอาจเป็นรอยโรคที่เหลือ หรือเป็นสมองบวมก็ได้ พนับว่ามีบุบบุนจันหลังการรักษา 1 รายซึ่งเคยมีรายงานไว้แล้ว¹⁵

ลักษณะภาพเอกซเรย์คอมพิวเตอร์ของผู้ป่วยที่มีรอยโรคเพียงแห่งเดียวในการศึกษาครั้งนี้ ไม่ได้แตกต่างจากกลุ่มที่มีรอยโรคหลายแห่งแต่อย่างใดทั้งตัวແหน่งและลักษณะ enhancement

แม้ว่าผลการศึกษาครั้งนี้จะถูกอกบันทึกโดยแพทย์ที่มีความเชี่ยวชาญในด้านต่างๆ แต่ก็มีข้อจำกัดคือ ไม่ได้ใช้การตรวจพบรอยโรคโดยใช้ MRI ที่มีความแม่นยำกว่า

ลักษณะเอกซเรย์คอมพิวเตอร์สมองคล้ายกันกับ primary CNS lymphoma (PCNSL) ซึ่งในกลุ่มผู้ป่วยเอ็ดส์มักเป็น high grade B-cell lymphoma มีรายงานว่าพบ PCNSL 2%-3% ของผู้ป่วยเอ็ดส์^{20,21} บางรายงานพบ 6.4% ของผู้ป่วยเอ็ดส์ที่มีภาวะแทรกซ้อนในระบบประสาทส่วนกลาง²² แต่ในประเทศไทยยังไม่ทราบอุบัติการณ์และรายงานผู้ป่วยภาพเอกซเรย์คอมพิวเตอร์สมองเพียงอย่างเดียวไม่สามารถแยกโรค PCNSL จาก Toxoplasmic encephalitis ได้ทั้งหมด^{5,23} ในกลุ่มผู้ป่วยเอ็ดส์มีแนวโน้มจะพบรอยโรค PCNSL มากกว่าหนึ่งแห่ง ซึ่งค่างจากในประชากรทั่วไป มีรายงานว่าพบรอยโรคเพียงแห่งเดียว 19-71%⁷ รอยโรคมากกว่าหนึ่งแห่งพบ 63%²¹ ถึง 81%⁷ รอยโรคมักพบตาม deep white matter และมีการบวมและกดเมียดต่อเนื่องของข้างเคียงปานกลางถึงมาก มี enhancement แบบ nodule หรือ ring หรือ periventricular enhancement²⁰ จำนวนหรือลักษณะ enhancement ในช่วงในการแยกโรคระหว่าง PCNSL และ Toxoplasmic encephalitis^{7,23} แต่มีลักษณะที่ช่วยแยกสองโรคนี้คือการพบรอยโรคเฉพาะที่เป็น hyperdensity มี subependymal หรือ periventricular enhancement เป็นลักษณะที่ช่วยบอกว่าเป็น PCNSL ต่างกับ Toxoplasmic encephalitis ที่มักพบรอยโรคที่ gray-white matter junction หรือ cortex มากกว่า^{7,20}

ในผู้ป่วยรายเดียวที่มีอาการพบรอยโรค Toxoplasmic encephalitis ร่วมกับ PCNSL ได้ และกระจะสังสัยถ้ามีลักษณะภาพเอกซเรย์คอมพิวเตอร์สมองที่เหมือน PCNSL^{8,12} โดยเฉพาะถ้าไม่ตอบสนองต่อการรักษา Toxoplasmic encephalitis ใน 3 สัปดาห์

MRI มีความสามารถที่จะตรวจพบรอยโรคได้ดีกว่าเอกซเรย์คอมพิวเตอร์ในเรื่องการตรวจพบรอยโรคได้มากกว่าและให้รายละเอียดของโรคได้ดีกว่า^{5,12,19} แต่ก็ยังไม่จำเพาะและแยกโรคจาก PCNSL ไม่ได้ชัดเจน^{7,12,20}

สรุป

การวินิจฉัย Toxoplasmic encephalitis ในผู้ป่วยเออดส์โดยการตรวจขึ้นเนื้อเป็นการตรวจที่อาจเกิดอันตรายต่อผู้ป่วยและมีความเสี่ยง ทำได้ไม่สะดวก และบางครั้งไม่สามารถทำได้ การตรวจและวินิจฉัยโดยใช้ออกซิเรย์คอมพิวเตอร์สมองสามารถทำได้สะดวก ปลอดภัย และคุ้มค่าและเป็นการตรวจที่เหมาะสม ลักษณะภาพออกซิเรย์คอมพิวเตอร์สมองของ Toxoplasmic encephalitis ในผู้ป่วยเออดส์ มีส่วนช่วย และเป็นประโยชน์ในการวินิจฉัยและรักษาผู้ป่วยมาก แม้ว่าจะไม่จำเพาะกับโรคนี้อย่างเดียวคือตามแต่ก็มีลักษณะที่ช่วยแยกโรคได้ ในประเทศไทยยังขาดอุบัติการณ์ที่แท้จริงของ Toxoplasmic encephalitis และ primary CNS lymphoma (PCNSL) แต่ Toxoplasmic encephalitis พบได้บ่อยกว่ามาก และเป็นสาเหตุอันดับแรกของรอยโรคในสมองเฉพาะที่ในผู้ป่วยเออดส์ ส่วน PCNSL พบได้น้อยมากหรือไม่พบเลย ดังนั้นเมื่อพบผู้ป่วยที่สงสัยว่าเป็นโรคนี้ และมีลักษณะภาพออกซิเรย์คอมพิวเตอร์สมองที่เหมือนโรคนี้ดังกล่าวมาแล้ว การรักษาด้วย antitoxoplasmic drug แล้วดูการตอบสนองต่อการรักษาทั้งทางคลินิก และออกซิเรย์คอมพิวเตอร์สมองน่าจะเป็นแนวทาง การดูแลรักษาที่เหมาะสมกับสภาพเศรษฐกิจและการบริการสุขภาพของประเทศไทย การตรวจขึ้นเนื้อทางพยาธิวิทยาอยู่นมีความสำคัญในกรณีของผู้ป่วยที่ไม่ตอบสนองต่อการรักษาด้วยยาดังกล่าวซึ่งอาจเป็นโรคอื่นหรือมีโรคอื่นร่วมด้วยได้

กิตติกรรมประกาศ

ขอขอบคุณ แพทย์หญิงวนันนา ประภากร และคณาจารย์ภาควิชารังสีวิทยา แพทย์หญิงศิริพร จันทร์กระจาง และคณาจารย์หน่วยประสานวิทยา ภาควิชาอายุรศาสตร์ คณะแพทยศาสตร์มหาวิทยาลัย เชียงใหม่ ที่ให้คำแนะนำและความช่วยเหลือในการเก็บรวบรวมข้อมูลและวิจัย

เอกสารอ้างอิง

1. Tschirhart D, Klatt EC. Disseminated toxoplasmosis in the acquired immunodeficiency syndrome. Arch Pathol Lab Med 1998;112:1237-41.
2. Dannemann B, McCutchan JA, Israelski D, et al. Treatment of toxoplasmic encephalitis in patients with AIDS : a randomized trial comparing pyrimethamine plus clindamycin to pyrimethamine plus sulfonamides. Ann Intern Med 1992;116: 33-43.
3. Bossi P, Caumes E, Astrgnau P, Paris L, Mengual X, Katlama C, Bricaire F. Epidemiologic characteristics of cerebral toxoplasmosis in 399 HIV-infected patients followed between 1983-1994. Rev Med Interne 1998;19:313-7.
4. Benjamin J, Luft and Jack S. Remington. Toxoplasmic encephalitis in AIDS. Clin Infect Dis 1992;15:211-22.
5. Levy RM, Rosenbloom S and Perrett LV. Neuroradiologic Findings in AIDS : A review of 200 cases. AJR Am J Roentgenol 1986;147:977-83.
6. Weisberg LA, Greenberg J, Stazio A. Computed tomographic findings in cerebral toxoplasmosis in adults. Comput Med Imaging Graph 1988;12:379-83.
7. Dina TS. Primary central nervous system lymphoma versus toxoplasmosis in AIDS. Radiology 1991;179:823-8.
8. Laviopierre AM., Lawler GA. Cerebral Toxoplasmosis and Lymphoma in Patients with Acquired Immunodeficiency Syndrome. Australas Radiol 1989;33:270-5.

9. Post MJD, Chan JC, Hensley GT, Hoffman TA, Moskowitz LB, Lippmann S. Toxoplasma Encephalitis in Haitian Adults with Acquired Immunodeficiency Syndrome: A Clinical-Pathologic-CT Correlation. *AJR Am J Roentgenol* 1983;140: 861-8.
10. Porter SB, Sande MA. Toxoplasmosis of the central nervous system in the acquired immunodeficiency syndrome. *N Engl J Med* 1992;327:1643-8.
11. Chaddha DS, Kalra SP, Singh AP, Gupta RM, Sanchetee PC. Toxoplasmic encephalitis in acquired immunodeficiency syndrome. *J Assoc Physicians India* 1999; 47:680-4.
12. Chang L, Cornford ME, Chiang FL, Ernst TM, Sun NCJ, Miller BL. Radiologic-Pathologic Correlation Cerebral Toxoplasmosis and Lymphoma in AIDS. *AJNR Am J Neuroradiol* 1995;16:1653-63.
13. Lee HJ, Williams R, Kalnin A, Wolansky L. Toxoplasmosis of the Corpus Collosum : Another Butterfly. *AJR Am J Roentgenol* 1996;166: 1280-1.
14. Trenkwalder P, Trankwalder C, Feiden W, Vogl TJ, Einhaupl KM, Lydtin H. Toxoplasmosis with early intracerebral hemorrhage in a patient with the acquired immunodeficiency syndrome. *Neurology* 1992;42:436-8.
15. Revel MP, Gray F, Brugieres P, Geny C, Sobel A, Gaston A. Hyperdense CT Foci in Treated AIDS Toxoplasmosis Encephalitis : MR and Pathologic Correlation. *J Comput Assist Tomogr* 1992;16: 372-5.
16. Roquer J, Palomeras E, Knobel H, Pou A. Intracerebral haemorrhage in AIDS. *Cerebrovasc Dis* 1998;8:222-7.
17. Cohen W, Koslow M. Case Report An Unusual CT Presentation of cerebral Toxoplasmosis. *J Comput Assist Tomogr* 1985;9:384-6.
18. Bertoli F, Espino M, Arosemena R. A Spectrum in the Pathology of Toxoplasmosis in Patients With Acquired Immunodeficiency Syndrome. *Arch Pathol Lab Med* 1995;119:214-24.
19. Balakrishnan J, Becker PS, Kumar AJ, Zinreich SJ, McArthur JC, Bryan RN. Acquired Immunodeficiency Syndrome: Correlation of Radiologic and Pathologic Findings in the Brain. *Radiographics* 1990;10:201-15.
20. Cordolian YS, Derosier C, Pharaboz C, Jeanbourquin D, Schill H, Cosnard G. Primary Cerebral Lymphoma in Patients with AIDS : MR Findings in 17 Cases. *AJR Am J Roentgenol* 1992;159:841-7.
21. Baumgartner JE, Rachlin JR, Beckstead JH, Meeker TC, Levy RM, Wara WM, et al. Primary central nervous system lymphomas: natural history and response to radiation therapy in 55 patients with acquired immunodeficiency syndrome. *J Neurosurg* 1990;73:206-11.
22. Sze G, Brandt-Zawadzki MN, Norman D and Newton TH. The Neuroradiology of AIDS. *Semin Roentgenol* 1987;1:42-53.

23. Antoni A, Ammassari A, De Luca A, Cingolani A, Murri R, Scoppettuolo G. et al. Diagnosis of AIDS-related focal brain lesions : a decision-making analysis

based on clinical and neuroradiologic characteristics combined with polymerase chain reaction assays in CSF. Neurology 1997;48:687-94.

ABSTRACT

CT Findings of Toxoplasmic Encephalitis in AIDS

Pisit Wattanaruangkowit, M.D.* Bussaya Sujitranooch, M.D.**

* Department of Radiology Faculty of Medicine, Thammasat University

** Division of Radiology, Chonburi Hospital

Opportunistic infection is the most important problem among the large number of AIDS patients. Toxoplasmic encephalitis is one of the most common CNS infections. CT scan is useful and cost-effective in the diagnosis and treatment of the patients. We performed a retrospective analysis of CT findings of toxoplasmic encephalitis in 50 AIDS patients who were responsive to antitoxoplasmic therapy and had clear radiologic response on the follow up CT scan. The analysis included number, size, location, density, pattern of enhancement and surrounding brain edema and mass effect of the lesions. We founded that toxoplasmic encephalitis had multiple lesions in 78%. The three most common location of lesions are gray-white matter junction, cortex and basal ganglia. Most lesions were isodensity or hypodensity with irregular/conglomerate ring and nodular enhancement. All lesions had surrounding brain edema and over half of them had severe mass effect with shifting of midline structure or hydrocephalus.